

Grundlagen der Modellierung und Simulation

- 3. Zeitkontinuierliche Modellierung und Simulation
 - 3.1 Einleitung
 - 3.2 Beschreibung zeitkontinuierlicher Systeme
 - 3.3 Modellanalyse
 - 3.4 Grundlagen der numerischen Simulation
 - 3.5 Berechnung nichtlinearer Gleichgewichtslösungen
 - 3.6 Numerische Lösung der nichtlinearen Zustandsdifferentialgleichungen

3.6 Numerische Lösung nichtlinearer Zustands-DGLn

Übersicht Systemtypen

Foliensatz 9

Im Allg. keine explizite, formelmäßige, nur numerische Lösung möglich (Kap. 3.6).

$$\dot{x} = f(x, u, t)$$
$$y = g(x, u, t)$$

System im Allgemeinen nichtlinear und zeitvariant (und explizit)

f, g hängen nicht explizit von t ab

f, g hängen linear von x, u ab

System zeitinvariant (autonom) und i.Allg. nichtlinear

$$\dot{x} = f(x, u)$$
$$y = g(x, u)$$

$$\dot{x} = A(t) \cdot x + B(t) \cdot u$$
$$y = C(t) \cdot x + D(t) \cdot u$$

System linear und i.Allg. zeitvariant

f, g hängen linear von x, u ab

A, B, C, D sind konstant

$$\dot{x} = A \cdot x + B \cdot u$$
$$y = C \cdot x + D \cdot u$$

System linear und zeitinvariant

3.6 Numerische Lösung nichtlinearer Zustands-DGLn

Grundidee numerische Integration

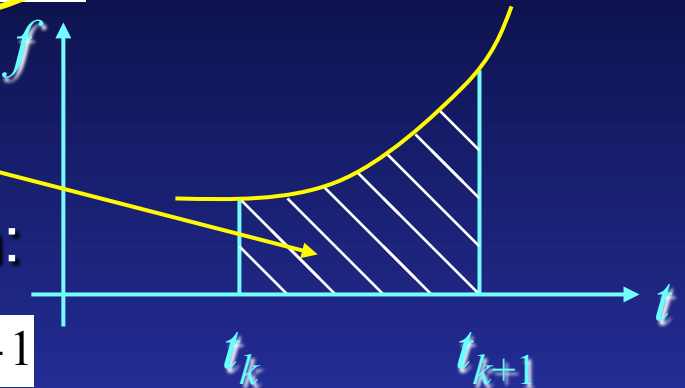
Foliensatz 09

Ausgangsgleichung: $x(t_{k+1}) = x(t_k) + \int_{t_k}^{t_{k+1}} f(x(\tau)) d\tau$

Integralterm entspricht Fläche

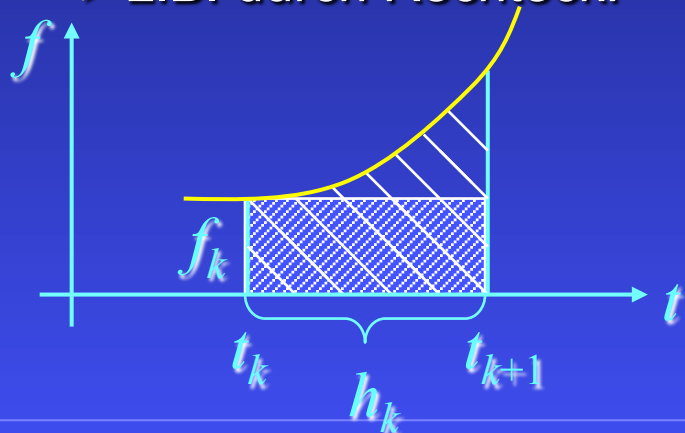
Ansatz für numerisches Integrationsverfahren:

Bezeichnung: $x_k \approx x(t_k), \quad k = 1, \dots, n_t + 1$



Approximation der Fläche

➤ z.B. durch Rechteck:



$$x(t_{k+1}) = x(t_k) + h_k \cdot f_k, \quad f_k := f(x(t_k))$$

➤ andererseits auch als Approximation der Ableitung interpretierbar:

$$\frac{x(t_{k+1}) - x(t_k)}{h_k} \approx \dot{x}(t_k) = f(x(t_k))$$

Diese Approximation nennt man
(explizites) Euler-Verfahren!

3.6 Numerische Lösung nichtlinearer Zustands-DGLn

Grundlegende Verfahren

Foliensatz 9

Zunächst Betrachtung für $n=1$ (skalare Zustandsdifferentialgleichung)

Gegeben: $x_k \approx x(t_k)$ Näherungslösung am Zeitpunkt t_k

Gesucht: $x_{k+1} \approx x(t_{k+1})$ Näherungslösung am Zeitpunkt t_{k+1}

3.6.2 Einschrittverfahren (one step methods)

Allgemeiner Ansatz:

$$x_{k+1} = x_k + h \cdot \Phi(t_k, x_k, x_{k+1}, h; f)$$

Mit einer je nach Verfahren unterschiedlichen Funktion Φ

Explizites Euler-Verfahren: $\Phi = f(x_k)$

Implizites Euler-Verfahren: $\Phi = f(x_{k+1})$

Numerische Integrationsverfahren unterscheiden sich in der Art der Approximation der Fläche f und/oder des Gradienten $x'(t)$:

- Einschrittverfahren
- Mehrschrittverfahren
- Extrapolationsverfahren

In dieser Vorlesung werden nur Einschritt-Verfahren diskutiert.

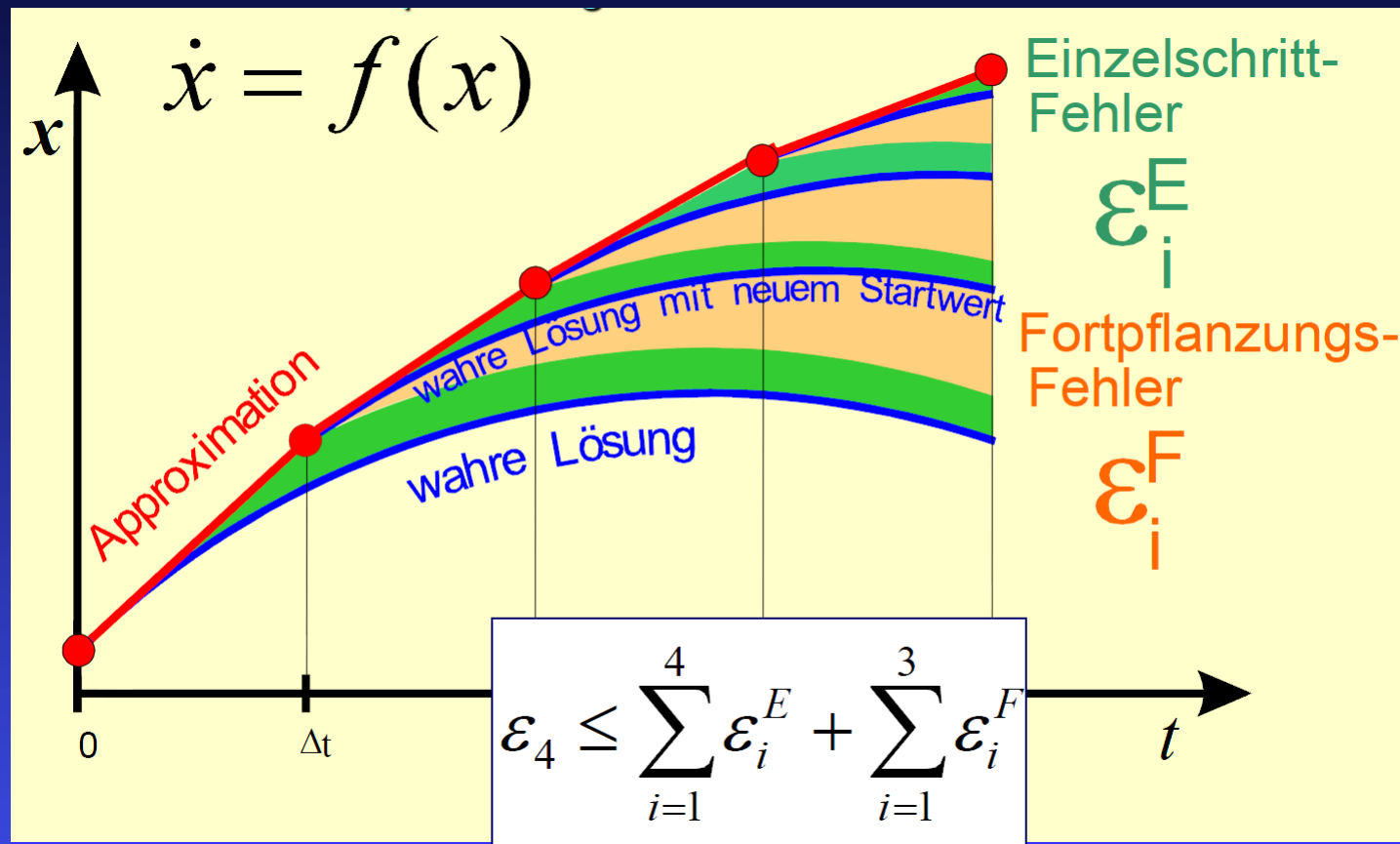
Diese Verfahrensklassen können jeweils in

- explizite und
- implizite

Verfahren unterteilt werden.

3.6 Numerische Lösung nichtlinearer Zustands-DGLn Einzelschritt- und Fortpflanzungsfehler

Foliensatz 9



3.6 Numerische Lösung nichtlinearer Zustands-DGLn

Heun-Verfahren

Foliensatz 10

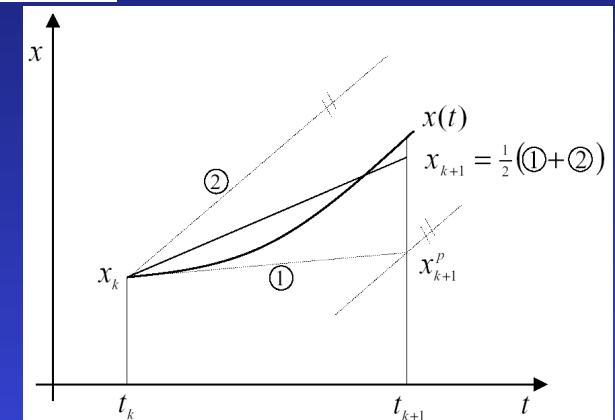
- Ist Beispiel für ein **Prädiktor-Korrektor Verfahren**
- **Prädiktor**-Schritt: $x_{k+1}^p = x_k + h_k \cdot f(x_k)$ (explizites Euler-Verfahren)
- **Korrektor**-Schritt: Mittelung des Gradienten

$$x_{k+1} = x_k + h_k \cdot \frac{1}{2} \left(f_k + f(x_{k+1}^p) \right)$$

- **Insgesamt:**

Heun Verfahren ist
ein **2-stufiges**
Einschrittverfahren

$$\begin{aligned}s_1 &= f(x_k) \\s_2 &= f(x_k + h_k \cdot s_1) \\x_{k+1} &= x_k + \frac{h_k}{2} (s_1 + s_2)\end{aligned}$$



- **Rechenaufwand:** zwei Funktionsauswertungen von f
- **Genauigkeit:** Approximationsfehler $O(h^2)$
Heun-Verfahren ist Verfahren 2. Ordnung.

3.6 Numerische Lösung nichtlinearer Zustands-DGLn

Runge-Kutta Verfahren 4. Ordnung

Foliensatz 10

- Eine Möglichkeit: Das „klassische“ RK-Verfahren 4. Ordnung

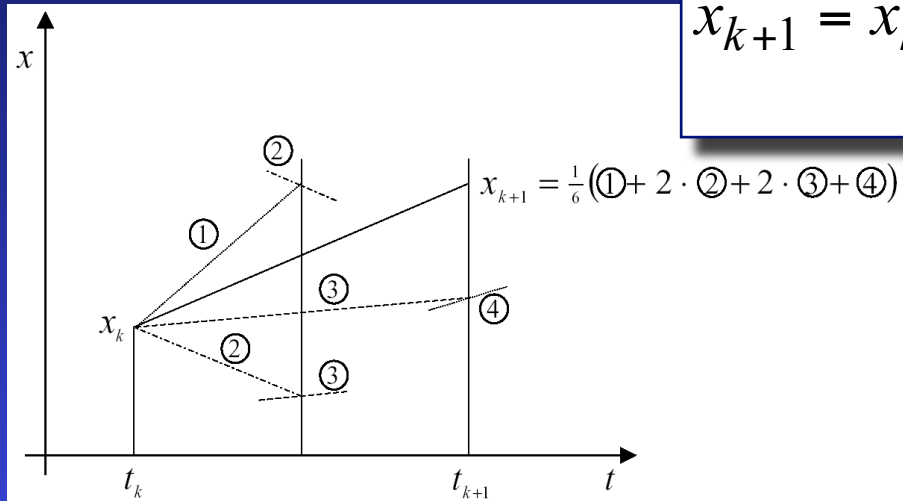
$$s_1 = f(x_k)$$

$$s_2 = f(x_k + h/2 \cdot s_1)$$

$$s_3 = f(x_k + h/2 \cdot s_2)$$

$$s_4 = f(x_k + h \cdot s_3)$$

$$x_{k+1} = x_k + h/6 \cdot \underbrace{(s_1 + 2s_2 + 2s_3 + s_4)}_{\Phi}$$

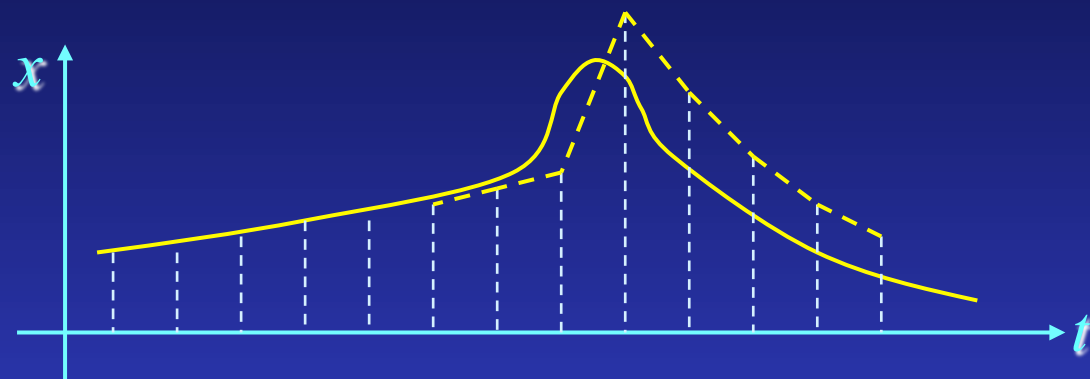


- **Rechenaufwand:** vier Funktionsauswertungen von f
- **Genauigkeit:** Approximationsfehler $O(h^4)$
(falls rechte Seite f 4-mal stetig differenzierbar ist innerhalb von $]t_k, t_{k+1}[$)

3.6 Numerische Lösung nichtlinearer Zustands-DGLn

Schrittweitensteuerung

- Konstante Schrittweite h_k
 - ungenau, wenn gesuchte Lösung sich **lokal sehr stark** ändert
 - ineffizient, wenn gesuchte Lösung sich **lokal sehr wenig** ändert



- Abhilfe mit Schrittweitensteuerung:
 - Wahl von h_k so „groß wie möglich“ und „so klein wie nötig“
 - Wahl von h_k , so dass lokaler Approximationsfehler nach einem Schritt unterhalb einer Fehlerschranke (die vom Benutzer vorgegeben wird)

Grundlagen der Modellierung und Simulation

-
- 3. Zeitkontinuierliche Modellierung und Simulation
 - 3.1 Einleitung
 - 3.2 Beschreibung zeitkontinuierlicher Systeme
 - 3.3 Modellanalyse
 - 3.4 Grundlagen der numerischen Simulation
 - 3.5 Berechnung nichtlinearer Gleichgewichtslösungen
 - 3.6 Numerische Lösung der nichtlinearen Zustandsdifferentialgleichungen
 - 3.7 Integration von Zustands-DGLn mit Unstetigkeiten

3.7 Integration von Zustands-DGLn mit Unstetigkeiten

Einleitung

Ausgangsproblem: $\dot{x} = f(x, u)$ bzw. $\dot{x} = f(x, u, t)$ mit $x(0) = x_0$

- Numerische Integrationsverfahren aus Kap. 3.6 erfordern
 - dass f mindestens so oft stetig differenzierbar ist wie Ordnung des Verfahrens (z.B. Euler-Verfahren Ord. 1, „klassisches“ Runge-Kutta-Verfahren Ord. 4);
 - sonst: „Ordnungsreduktion“ in der berechneten Lösung, also (möglicherweise massiver) Genauigkeitsverlust
- Aber (vgl. Kap. 3.3.10):
 - Die physikalische und technische Welt sind nicht nur stetig differenzierbar.
 - Es gibt kontinuierliche und diskrete, zeitveränderliche Phänomene!
- Annahme:
 - $f(x, t)$ abschnittsweise mehrfach stetig differenzierbar.
 - An Übergängen der Abschnitte ist f möglicherweise unstetig / stetig aber nicht differenzierbar / etc.
 - Übergänge werden durch formulierbare Ereignisse (events) ausgelöst, die zustandsabhängig oder zeitgesteuert sein können.

3.7 Integration von Zustands-DGLn mit Unstetigkeiten Schaltfunktionen

Die (Um-)Schaltzeitpunkte (events) $t_{s,i}, \quad i = 1, \dots, n_s$ werden i.Allg.
als (einfache) Nullstellen n_q reellwertiger Schaltfunktionen

$$q_l(x(t_{s,i}), t_{s,i}) = 0, \quad l \in \{1, \dots, n_q\}$$

charakterisiert. Bei der numerischen Integration müssen nun die **Vorzeichen** der Schaltfunktionen beobachtet werden, d.h.

- wenn zwischen der letzten berechneten Näherung $x_k \approx x(t_k)$ und der neuen Näherung $x_{k+1} \approx x(t_{k+1})$ ein **Vorzeichenwechsel** in (mind.) einer der Schaltfunktionen stattfindet,
- muss der dazwischen liegende **erste Schaltzeitpunkt** bestimmt werden (und zwar in der durch die Genauigkeitsanforderung des Benutzers und der Ordnung des Verfahrens implizit gegebenen Genauigkeit):
 → **Kombination von numerischer Integration und (eindim.) Nullstellensuche**
- **Voraussetzung:** Schrittweite h_k klein genug, so dass kein doppelter Vorzeichenwechsel in derselben Schaltfunktion stattfindet.

Grundlagen der Modellierung und Simulation

-
- 3. Zeitkontinuierliche Modellierung und Simulation
 - 3.1 Einleitung
 - 3.2 Beschreibung zeitkontinuierlicher Systeme
 - 3.3 Modellanalyse
 - 3.4 Grundlagen der numerischen Simulation
 - 3.5 Berechnung nichtlinearer Gleichgewichtslösungen
 - 3.6 Numerische Lösung der nichtlinearen Zustandsdifferentialgleichungen
 - 3.7 Integration von Zustands-DGLn mit Unstetigkeiten
 - 3.8 Integration steifer Zustands-DGLn

3.8 Integration steifer Zustands-DGLn

Beispiel

Annahme: $|\lambda_2| \gg |\lambda_1|$ zum Beispiel: $\lambda_1 = -1, \lambda_2 = -1000$

Dann ist $e^{\lambda_2 t} \ll e^{\lambda_1 t}$ und liefert keinen nennenswerten Beitrag zum Ergebnis.

Wegen der Stabilitätsbedingung $|1 + h\lambda_2| < 1 \Leftrightarrow h < \frac{2}{|\lambda_2|} = 0.002$ muss h

sehr klein gewählt werden, obwohl $e^{\lambda_2 t} = e^{-1000t}$ zur Lösung praktisch nichts beiträgt.

- Ein solches, **steifes** Verhalten ist allgemein zu erwarten, wenn für $\dot{\mathbf{x}} = f(\mathbf{x}, \mathbf{u})$ die Jacobi-Matrix $\frac{\partial f(\mathbf{x}, \mathbf{u})}{\partial \mathbf{x}}$ Eigenwerte λ_i mit Realteil $\ll 0$ besitzt.
- (zustandsabhängiges) **Steifigkeitsmaß / Steifigkeitskoeffizient**:
$$\frac{\max_i |\operatorname{Re}(\lambda_i)|}{\min_k |\operatorname{Re}(\lambda_k)|}$$
- Zur Berechnung sind **implizite Verfahren** (mit geeignetem Stabilitätsgebiet) geeignet.

3.8 Integration steifer Zustands-DGLn

Kriterien zur Auswahl des Integrators

Zur **Auswahl** und zur **Bewertung** von numerischen Integrationsverfahren betrachtet man i.Allg.

- **Rechenaufwand** (Berechnungseffizienz)
- **Genauigkeit** (Approximationsfehler)
- **Eignung für steife Systeme** (Stabilität)
- **Implementierungsaufwand**
(Eigenprogrammierung oder Verwendung einer Bibliothek)

4. Teilschritte einer Simulationsstudie

4. Teilschritte einer Simulationsstudie Übersicht

Foliensatz 11



Klassifikation zeitkontinuierlicher Simulationswerkzeuge

Foliensatz 12

Level 3

Multidisziplinäre Modellgenerierung (Modelica, VHDL-A)

Level 2

- a) Graphische Modellierung (SIMULINK, WorkingModel, Aspen, STELLA,...)
- b) Spezialsimulatoren (ADAMS, SIMPACK, KSIM,...)

Level 1

- a) Simulationssprachen (ACSL, VHDL, Dare-P, Desire,...)
- b) Simulationsframeworks (SIMULINK, C++-Klassenbibliothek)

Level 0

Direkte Programmierung (FORTRAN, C, Pascal, MATLAB,...)

Level 0: Direkte Programmierung mit MATLAB

Beispiel: Euler-Verfahren für Schiffschaukel

(nach W. Wiechert, Uni Siegen)

```
d = 100.0; % Reibungskonstante  
m = 100.0; % Schaukelmasse incl. Mensch  
l = 2.5; % Abstand Schwerpunkt zu Drehachse  
g = 10.0; % Erdbeschleunigung
```

Modellparameter

```
deltat = 0.1; % Schrittweite  
tEnd = 20.0; % Endzeit
```

Simulationsparameter

```
t = 0.0; % Startzeit  
phi = 1.0; % Startwinkel  
omega = 0.0; % Startwinkelgeschwindigkeit
```

Startwerte

```
while t<=tEnd  
  
% Ausgabe der Werte  
disp(sprintf('%8.4f %8.4f %8.4f',t,phi,omega));
```

Zeitschleife

Ausgabe

```
% Berechnung der rechten ODE-Seite  
dphi_dt = omega;  
domega_dt=-d/(m*l^2)*omega-g/l*sin(phi);
```

rechte Seite

```
% Neue Zeit und Werte  
t = t +deltat;  
phi = phi +deltat*dphi_dt;  
omega=omega+deltat*domega_dt;  
end;
```

Euler-Schritt

Level 1: Differentialgleichungslöser in MATLAB

Modellgleichungen als Funktion

```
function dxdt=Schaukel(t,x);  
  
d = 100.0; % Reibungskonstante  
m = 100.0; % Schaukelmasse incl. Mensch  
l = 2.5; % Abstand Schwerpunkt zu Drehachse  
g = 10.0; % Erdbeschleunigung  
  
% Sprechende Variablen einführen  
phi = x(1);  
omega = x(2);  
  
% Berechnung der rechten ODE-Seite  
dphi_dt = omega;  
domega_dt = -d/(m*l^2)*omega - g/l*sin(phi);  
  
% Sprechende Variablen ausführen  
dxdt = [ dphi_dt ; domega_dt ];
```

Modellparameter

Variablen

rechte Seite

Ergebnis

Aufruf eines Differentialgleichungslösers (Integrators):

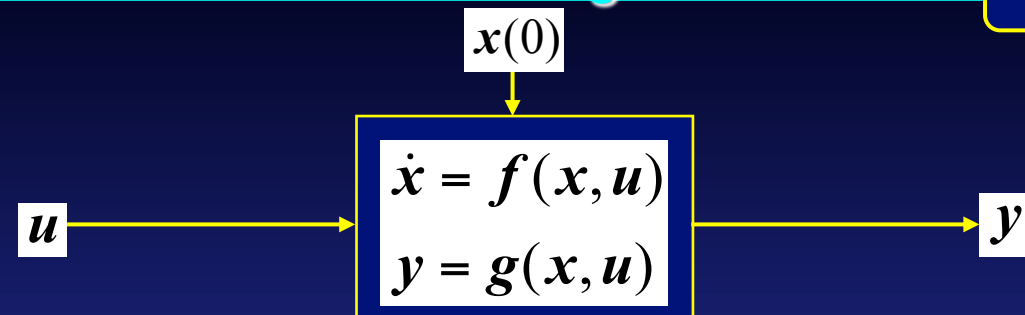
```
phi0 = 1.0; % Startwert des Winkels  
omega0 = 0.0; % Startwert der Winkelgeschwindigkeit  
  
tEnd = 20.0; % Simulationsdauer  
  
% Integrator-Aufruf  
[T,X] = ode45 (@Schaukel,[0,tEnd],[phi0;omega0]);
```

Simulationsparameter

Integratoraufruf

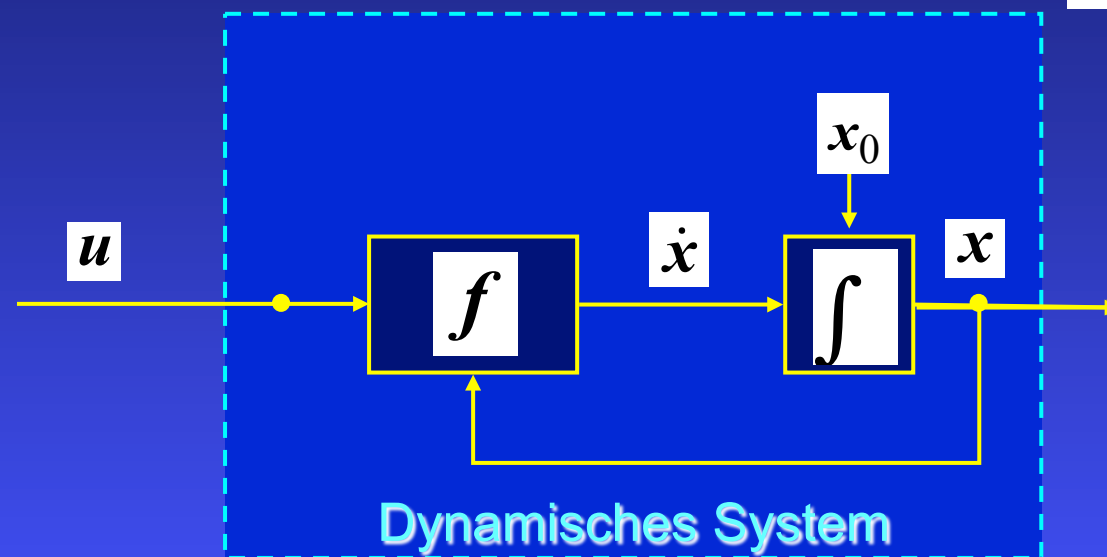
Level 3: Simulink und Allgemeine blockorientierte Darstellung

Foliensatz 12



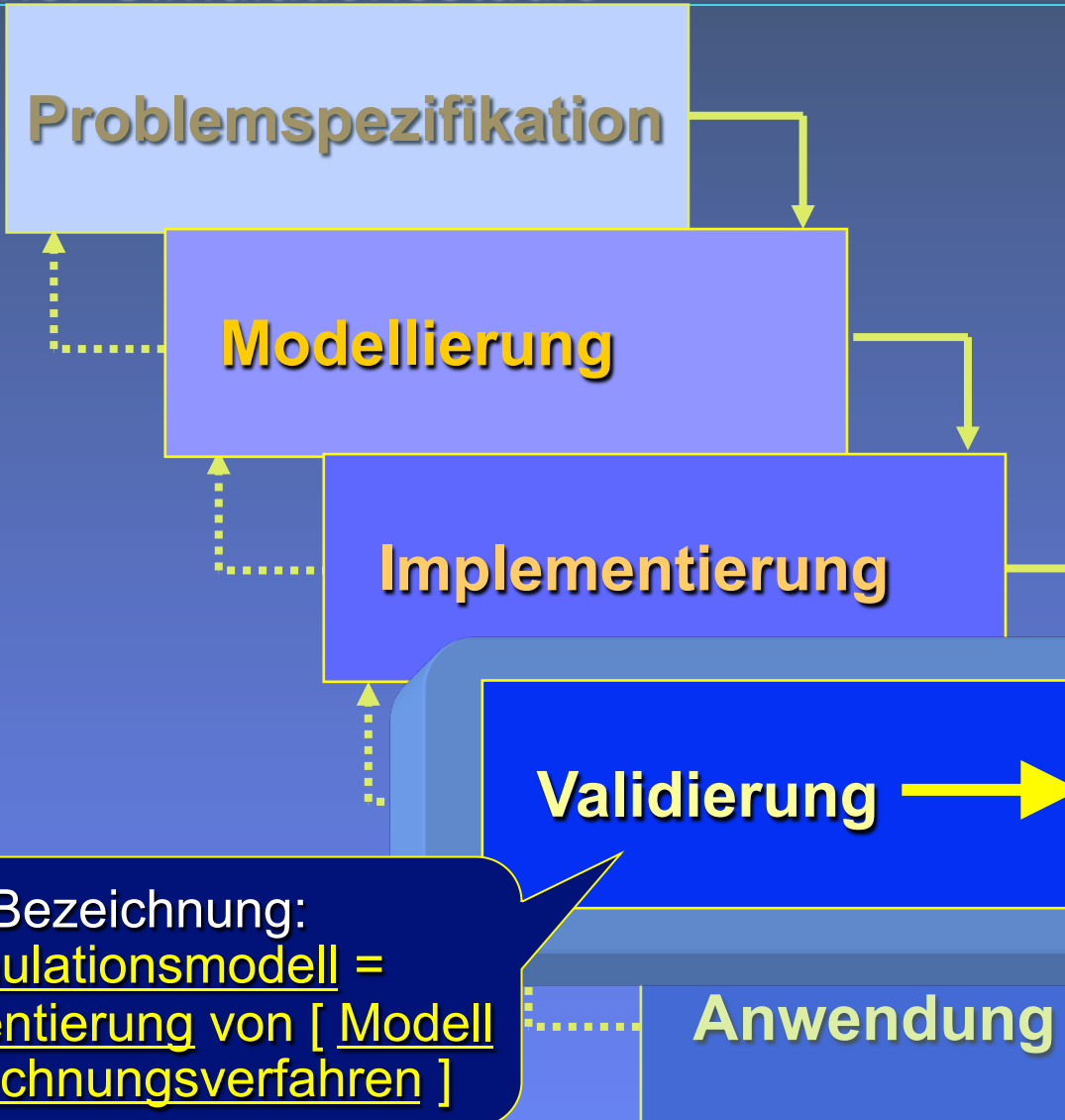
Das DGL-System mit Anfangswert: $\dot{x}(t) = f(x(t), u(t)), \quad x(0) = x_0 \in \Re^n$

kann äquivalent geschrieben werden als: $x(t) = x_0 + \int_0^t f(x(\tau), u(\tau)) d\tau$



5. Interpretation und Validierung

5. Interpretation und Validierung Schritte einer Simulationsstudie



Foliensatz 12

Systematische Plausibilitätsüberprüfung („Stimmen Modell und Simulation?“):

- Fehlersuche
- Konsistenzprüfung
- Daten-, Parameterabgleich

Bezeichnung:
Simulationsmodell =
Implementierung von [Modell
+ Berechnungsverfahren]

Verifikation

- **Formaler (meist mathematischer) Nachweis** der Korrektheit, dass ein Programm (z.B. Simulationsmodell) einer vorgegebenen Spezifikation entspricht
- Aufgrund der unendlich großen Anzahl von Zustandsverläufen und Störungseinflüssen nichtlinearer dynamischer Systeme ist es i.d.R. unmöglich, die **vollständige Korrektheit** eines kontinuierlich dynamischen Simulationsmodells zu beweisen.

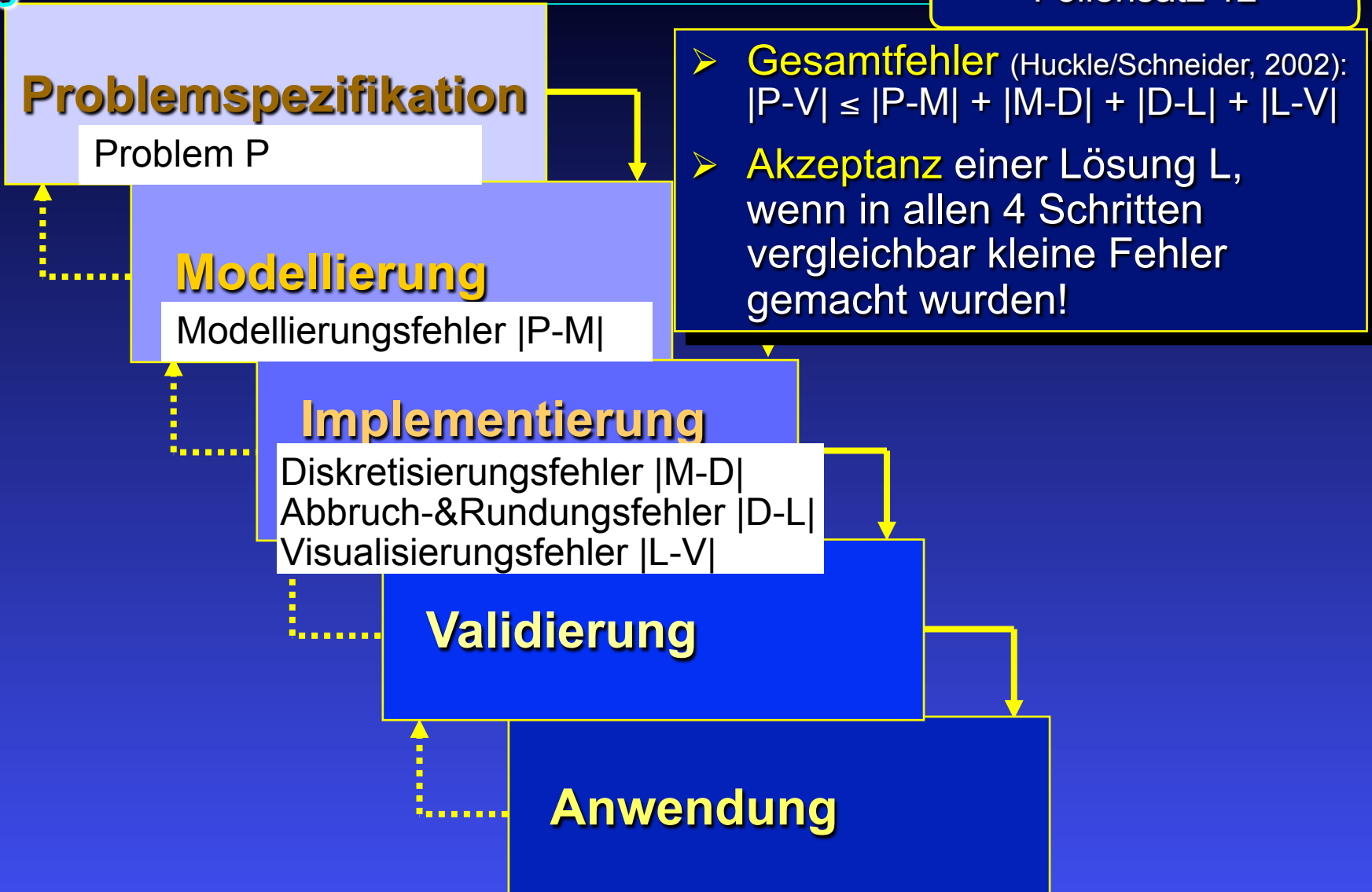
Validierung

- **Plausibilitätsüberprüfung**, dass ein Programm (z.B. Simulationsmodell) einer vorgegebenen Spezifikation entspricht
- Ziel der Validierung ist der Nachweis der ausreichenden **Glaubwürdigkeit** des Simulationsmodells im Hinblick auf dessen Einsatzbereich

5. Interpretation und Validierung

Validierung

Foliensatz 12



Modellierungsfehler

- vereinfachende Modellannahmen
(z.B. starrer statt elastischer Körper)
- Ungenauigkeiten in Modellparametern

Approximationsfehler des iterativen
Berechnungsverfahrens (z.B. beim Euler-
Verfahren proportional zur Schrittweite)

Rundungsfehler

(Ausführung des Berechnungsverfahrens auf Computer
mit endlicher Zahldarstellung)

Programmier-, Implementierungsfehler

„Tuning“ der Modellparameter anhand von **Messwerten**:

$$\hat{\mathbf{x}}_j = \mathbf{x}(t_j) + \boldsymbol{\varepsilon}_j \quad \text{experimentelle Messwerte für Zustandstrajektorie (mit Messfehler } \boldsymbol{\varepsilon}_j \text{)} \quad t_j, j = 1, \dots, n_t$$

Optimierungsproblem zur Kalibrierung der Modellparameter

$$\min_{\mathbf{p} \in \Re^{n_p}} \varphi(\mathbf{x}), \quad \varphi(\mathbf{p}) = \frac{1}{2} \sum_{j=1}^{n_t} \omega_j \|\hat{\mathbf{x}}_j - \mathbf{x}(t_j; \mathbf{p})\|^2 \in \Re \quad \omega_j = \text{const.} > 0$$

unter der **Nebenbedingung**, dass $\mathbf{x}(t; \mathbf{p})$

(numerische) Lösung des nichtlinearen Systemmodells

$$\dot{\mathbf{x}}(t) = \mathbf{f}(\mathbf{x}, t; \mathbf{p}), \quad \mathbf{x}(0) = \mathbf{x}_0$$